

重力ダムに働く地震時動水圧に関する一の考察

京都大学工学部 正員 尾島 勝

1. まえがき

1933年にWadengardによって壁体に働く地震時動水圧が指摘され、以後一般には彼の示した簡易式が広く用いられてきた。近年、水に接する構造物の耐震性が重視され、地震時動水圧に関する興味ある研究が續けられており、著者は今年の年次学術講演会で、重力ダム上流の河床二う配を考慮した地震時動水圧について発表したが、その後の考察結果を述べる。

2. 地震時動水圧

図-1のようにダム上流面を円弧で近似して、固示した座標および諸元を用いる。この場合、河床の振動によつて生ずる動水圧は、河床二う配が小さくなることを考慮して無視するこゝとし、ダムのみの変位 $y_0 = \frac{g}{\omega^2} \sin \omega t$ なる調和振動を仮定すると、動水圧はつきのように与えられる。

$$\sigma = \sum_{m=1}^{\infty} \frac{4k_p g}{\lambda \theta_m} \cdot \frac{\mu_m + (-1)^m \sin \theta_m}{\mu_m^2 - 1} \cdot \frac{J_m(\lambda t)}{J_m'(\lambda t)} \cdot \sin \mu_m \theta \cdot \cos \omega t \quad (1)$$

ここで、 k_p : 水平張度、 $\lambda = \omega/C = \omega/\sqrt{p}$ 、 K : 水の体積弾性係数、 g : 水の重力、 ω : 振動数、 θ : 河床二う配、 $\mu_m = (2m-1)\pi/2\theta$ ($m=1, 2, \dots$): 固有値、 $J_m(\lambda t)$: 第1種ベッセル関数である。したがつてダム面に働く動水圧の最大値は、式(1)で $t=T_0$ 、 $\cos \omega t = 1$ とすればよい。

3. 考察

1) 理論解の簡易化

ダム面に働く動水圧の最大値は次式のようになる。

$$(Q_{\max}) = \sum_{m=1}^{\infty} \frac{4k_p g}{\lambda \theta_m} \cdot \frac{\mu_m + (-1)^m \sin \theta_m}{\mu_m^2 - 1} \cdot \frac{J_m(\lambda T_0)}{J_m'(\lambda T_0)} \cdot \sin \mu_m \theta = \sum_{m=1}^{\infty} \frac{4k_p g}{\lambda \theta_m} \cdot \frac{\mu_m + (-1)^m \sin \theta_m}{\mu_m^2 - 1} \cdot \frac{J_m(\lambda T_0)}{J_{m-1}(\lambda T_0) - J_{m+1}(\lambda T_0)} \cdot \sin \mu_m \theta \quad (2)$$

しかし、この式から直接動水圧の持つ特性とその物理的意義を知ることはむずかしく、また計算も繁雑となる。そこでこれを簡易化して特性を知り、計算を容易にすることを試みる。

まず $\{\mu_m + (-1)^m \sin \theta_m\}/(\mu_m^2 - 1)$ の値は、固有値 μ_m が $\mu_m = (2m-1)\pi/2\theta$ ($m=1, 2, \dots$) であり、河床二う配 θ が 1.3° のので、十分の精度で $\{\mu_m + (-1)^m \sin \theta_m\}/(\mu_m^2 - 1) \approx 1/\mu_m$ と近似できる。

つきに、高次のベッセル関数である $J_m(\lambda T_0)$ についてつきの近似が可能となる値の限界を計算して表-1に示し、河床二う配との関係を図-2に示した。すなはち、表-1に示された値より小さな λT_0 を持つベッセル関数は、次式で与えられる近似式を用いて求められる。

表-1

	1°	2°	3°	4°	5°
λT_0	67.02	33.50	22.30	16.70	13.34
λT_0	269.8	269.8	269.5	269.1	268.5

$$J_m(\lambda h) \approx \frac{1}{\Gamma(1+M_m)} \cdot \left(\frac{\lambda h}{2}\right)^{M_m} = \frac{(\lambda h)^{M_m}}{M_m!}$$

一方、表-1 に示した値より大きい λh を持つベッセル関数は、

$$J_m(\lambda h) \approx \sqrt{\frac{2}{\pi \lambda h}} \cos\left(\lambda h - \frac{2M_m + 1}{4}\pi\right)$$

右の近似式を用いる。したがって、それらの場合に対して式(2)は、

$$(C_{m,n})_{max} = \sum_{m=1}^{\infty} \frac{8k_0 p g h_0}{(2m-1)\pi^2} \cdot \sin\frac{(2m-1)\pi}{2} \frac{\theta}{h_0} = \sum_{m=1}^{\infty} \frac{8k_0 p g h_0}{(2m-1)\pi^2} \cdot \sin\frac{(2m-1)\pi}{2} \frac{\theta}{h_0} \quad (3)$$

$$\left. \begin{aligned} (C_{m,n})_{max} &= \sum_{m=1}^{\infty} \frac{8k_0 p g h_0}{(2m-1)\pi^2} \cdot \frac{1}{F} \cdot \sin\frac{(2m-1)\pi}{2} \frac{\theta}{h_0} \\ &:= K, \quad F = 1 - \frac{\lambda h}{(2m-1)\pi} \tan\left(\lambda h - \frac{\pi}{4} - \frac{(2m-1)\pi}{4h_0}\right) \end{aligned} \right\} \quad (4)$$

と近似することができる。

式(3), (4)で与えられる解は、Westergaard が求めた級数解 $O = 8k_0 p g h_0 \sum_{m=1}^{\infty} \frac{1}{(2m-1)\pi^2} \cdot \frac{1}{C_{2m-1}} \sin\frac{(2m-1)\pi}{2} \frac{\theta}{h_0}$, $C_{2m-1} = \sqrt{1 - \left(\frac{\lambda h}{(2m-1)\pi}\right)^2}$ と形式的には全く同じである。入射波の角周波数 ω と θ の関係が図-2 に示された曲線より下側の場合には動水圧は式(3)で計算される、地震の加速度と水深に比例するのみで、地震周期と河床との間に無関係に一定値をとることになり、その値は Westergaard の値にはほぼ一致する。一方、 ω の関係が曲線より上側にあら場合には、動水圧は式(4)で計算されるはずで、その値は地震加速度・水深に比例するのみではなく、地震周期・河床との間に比例によっても変化し、共振現象も起る。数値計算については改めて述べる。

2) 理論解の共振に関する吟味

$J_m'(\lambda h) = 0$ の根 X を求めることにより共振周期を求める。

すなわち、 $X = 360/\sqrt{F}$ (λh は既定), 第1次共振周期は次式で与えられる。

$$T_{res} = \frac{360h_0}{\sqrt{F}} \cdot \frac{1}{\left[\left(\frac{25}{2} + \frac{1}{4} \right) \pi - \frac{4(29^2 + 1)}{8(25 + \frac{1}{4})\pi} - \frac{112(29^2 + 328)(29^2 - 9)}{384(25 + \frac{1}{4})\pi^3} \right]} \quad (5)$$

式(5)から明らかなように、共振周期は水深に比例し、河床との配と水中音速に反比例する。水深を 100m とし、河床との配を 1°, 2°, 3°, 4°, 5° と 1° に場合について、水中音速を 1200 m/sec , 1450 m/sec , 1500 m/sec と仮定して第1次共振周期を計算する。表-2 のようになる。また $(C_{m,n})_{max}$ と θ との関係を図-3 に示すが、図中の曲線は第1次の共振点を示す。この曲線より上側には共振点が存在するが、曲線より下側では共振は起こらない。水の圧縮性に關する温度の影響については、図-4 からわかるように、水中音速が大きくなるにつれて其共振周期が小さくなるが、これは温度が高くなると水の体積弹性係数が大きくなり、したがって水の圧縮性が強くなるからである。

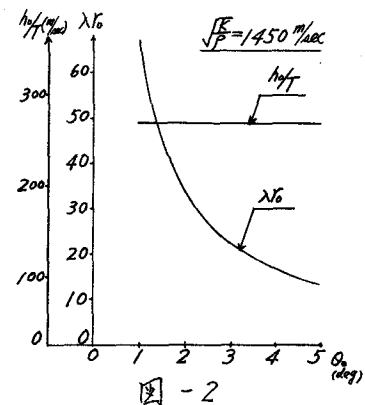


図-2

$\sqrt{F} \text{ (sec)}$	1°	2°	3°	4°	5°
1400	0.240	0.238	0.236	0.234	0.231
1450	0.232	0.230	0.228	0.226	0.223
1500	0.224	0.222	0.220	0.218	0.216

表-2 第1次固有周期(sec)

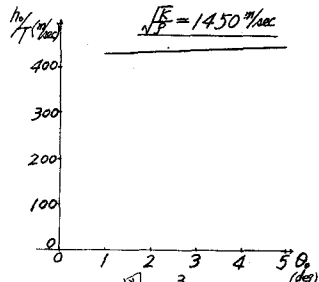


図-3

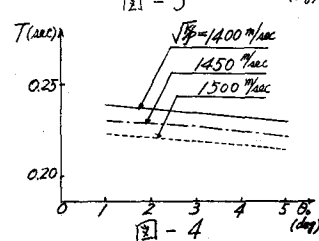


図-4